

# ИССЛЕДОВАНИЕ РЕАКЦИИ $\pi^- p \rightarrow \pi^0 n$ ПРИ БОЛЬШИХ ПЕРЕДАННЫХ ИМПУЛЬСАХ

*В.Д.Апель<sup>1)</sup>, К.Х.Аугенштайн<sup>1)</sup>, Е.Бертолуччи<sup>2)</sup>,*

*М.Л.Винчелли<sup>1)</sup>, С.В.Донсков<sup>3)</sup>, А.В.Инякин<sup>3)</sup>*

*В.А.Качанов<sup>3)</sup>, М.Квалья<sup>2)</sup>, Р.Н.Краснокутский<sup>3)</sup>,*

*М.Крюгер<sup>1)</sup>, Г.Ледер<sup>4)</sup>, И.Маннелли<sup>2)</sup>,*

*Ю.В.Михайлова<sup>3)</sup>, Х.Мюллер<sup>1)</sup>, Ю.Д.Прокошкин<sup>3)</sup>.*

*Г.М.Пьераццини<sup>2)</sup>, Ф.Серджиампьетри<sup>2)</sup>, Г.Сигурдсон<sup>1,5)</sup>*

*А.Скрибано<sup>2)</sup>, А.Н.Торопин<sup>3)</sup>, Х.Шнайдер<sup>1)</sup>*

*Р.С.Шувалов<sup>3)</sup>*

Представлены данные о зарядовообменном  $\pi^- p$ -рассеянии при импульсе  $40 \text{ Гэв}/c$  в области больших передач импульса. Эксперимент выполнен на  $70 \text{ Гэв}$  ускорителе ИФВЭ с использованием 648-канального гodosкопического гамма-спектрометра. Полная статистика составила более миллиона  $\pi^0$ -мезонов, что позволило продвинуться в область передач импульса до  $-t = 1,8 (\text{Гэв}/c)^2$ .

Экспериментальные данные сопоставляются с оптической моделью прицельного параметра. Определена мнимая часть траектории полюса  $b_o(s)$  по наклону касательной к максимумам функции  $\sqrt{-t} d\sigma/dt$ . Наблюдается линейный рост  $\text{Im } b_o(s)$  с  $\lg s$ .

В настоящей работе представлены предварительные результаты исследования реакции



в области больших переданных импульсов<sup>6)</sup>. Эксперимент был выполнен на  $70\text{-Гэв}$  ускорителе ИФВЭ как часть широкой программы исследования нейтральных конечных состояний в  $\pi^- p$ -соударениях. Реакция (1) принадлежит к числу простейших с точки зрения теоретической интерпретации. При высоких энергиях доминирующий вклад в ее амплитуду дают обмен в  $t$ -канале только частицы с квантовыми числами  $\rho$ -мезона.

<sup>1)</sup> Институт экспериментальной ядерной физики, Университет и центр ядерных исследований, Карлсруэ, ФРГ.

<sup>2)</sup> Институт физики, Университет и ИНФН, Пиза, Италия.

<sup>3)</sup> ИФВЭ, Серпухов, СССР.

<sup>4)</sup> Институт физики высоких энергий и ААН, Вена, Австрия.

<sup>5)</sup> ЦЕРН, Женева, Швейцария.

<sup>6)</sup> Представлено на Европейской конференции по физике частиц, Будапешт, 1977 г.

Эксперименты были выполнены на установке НИЦЕ, описанной в предыдущих работах [1, 2]. Энергии и координаты  $\gamma$ -квантов от распада  $\pi^0$ -мезонов измерялись при помощи 648-канального гаммоскопического спектрометра [3] в линию с ЭВМ. Триггерная электроника выделяла взаимодействия в жидкокристаллической мишени с нейтральными конечными состояниями. Точка взаимодействия локализовалась в мишени путем измерения интенсивности черенковского излучения в жидком водороде [4]. Охранная система счетчиков-сандвичей исключала все события с вылетом заряженных частиц и гамма-квантов вбок, за исключением гамма-квантов, летящих в переднем конусе в направлении спектрометра. Это позволяло эффективно подавить регистрацию фоновых процессов с образованием и распадом  $N^*$ . За время измерений через мишень было пропущено  $10^{11} \pi^-$ -мезонов, что соответствует чувствительности эксперимента  $10^{-35} \text{ см}^2/\text{событие}$ .

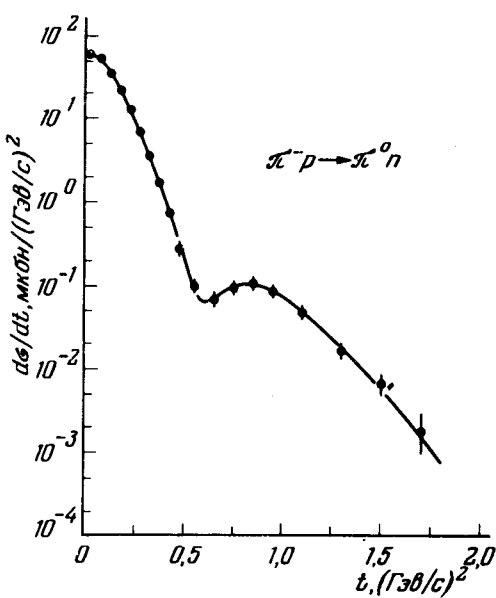


Рис. 1. Дифференциальное сечение реакции (1) при импульсе  $40 \text{ ГэВ}/c$ . В области малых  $-t$  из-за большого шага по  $t$  не видна структура — уменьшение сечения к  $t = 0$ . Кривая проведена через точки от руки

В описываемых экспериментах  $\gamma$ -спектрометр располагался близко от мишени, на расстоянии 3 м. При этом минимальное расстояние, разделяющее  $\gamma$ -кванты от распада  $\pi^0$ -мезонов в реакции (1), составляло 2,2 см и  $\gamma$ -кванты обычно лишь частично разделялись в спектрометре. Для определения координаты  $\pi^0$ -мезона мы использовали центр тяжести двух ливней. Суммарная амплитуда импульсов давала величину энергии  $\pi^0$ -мезона. Другие процессы исключались во-первых, условием отсутствия дополнительных  $\gamma$ -квантов вне угла раствора пары от  $\pi^0$ -мезона и, во-вторых, ограничением на инвариантную массу системы, распадающейся на  $\gamma$ -кванты. Величина массы определялась путем измерения первого и второго моментов амплитуд импульсов спектрометра [5].

Фон от событий, в которых при распаде  $\gamma$ -кванты образуются с малой энергией и поэтому не регистрируются (например, очень асимметричные распады  $\eta$ -мезонов), был определен путем варьирования энергетического порога программы распознавания  $\gamma$ -квантов. Вклад его оказался пренебрежимо малым. При очень больших  $-t$ , где сечение па-

дает более, чем в  $10^4$  раз по сравнению с малыми углами, становится существенной примесь "неупругих" процессов  $\pi^- p \rightarrow \pi^0 + X$  с образованием системы  $X$ , отличной от нейтрона. Этот фон, а не статистика, ограничивает, в конце концов, область достижимых значений  $t$ . Увеличение указанного фона проявляется в росте числа событий с энергией  $\pi^0$ -мезона, меньшей, чем в пике, соответствующем реакции (1). Вклад этого фона контролировался путем экстраполяции спектра  $\pi^0$ -мезонов в "неупругих" процессах в область пика реакции (1). В последних измеренных  $t$ -интервалах,  $1,6 \div 1,8 (\text{Гэв}/c)^2$ , фон составлял от 20 до 50%.

Измеренные дифференциальные сечения реакции (1)  $d\sigma/dt$ , определенные с учетом разрешения установки (методом Монте-Карло), приведены на рис. 1. Наши данные согласуются с предыдущими результатами [6, 7] при  $40 \text{ Гэв}/c$ , перекрывающими область  $-t$  до  $1,4 (\text{Гэв}/c)^2$ , превосходя их по статистике на 1 – 2 порядка величины – в реакции (1) мы зарегистрировали более  $10^6 \pi^0$ -мезонов.

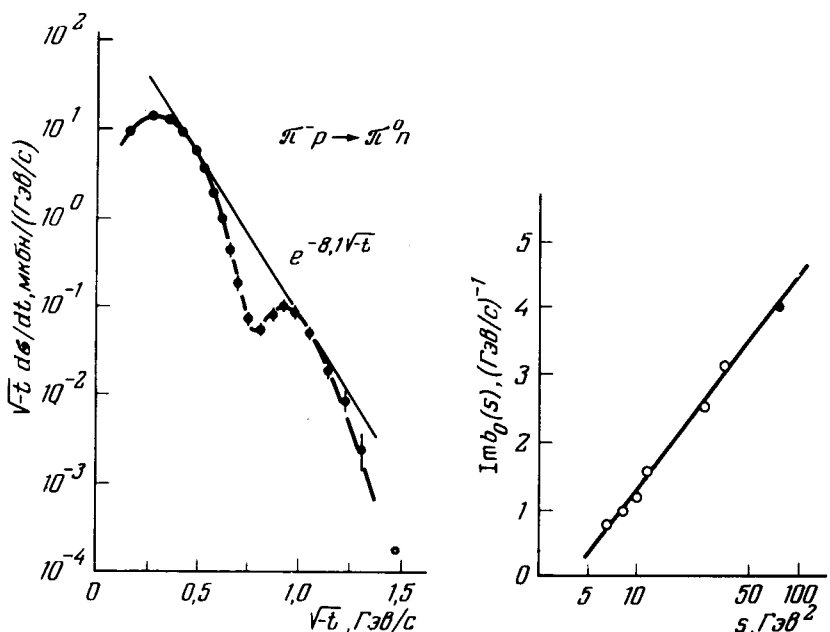


Рис. 2. *a* – Зависимость величины  $\sqrt{-t}d\sigma/dt$  от  $\sqrt{-t}$  при импульсе  $40 \text{ Гэв}/c$  в реакции (1). Касательная к максимумам (см. (2)) определяет мнимую часть траектории полюса  $b_0(s)$  в модели прицельного параметра [8]. Кривая – та же, что на рис. 1. *б* – Величины мнимой части комплексного полюса,  $\text{Im } b_0(s)$  в зависимости от  $\log s$ . Точки: ● – наши данные при  $40 \text{ Гэв}/c$ , ○ – данные при  $3 \div 18 \text{ Гэв}/c$

Достигнутые в настоящей работе большие значения переданных импульсов позволяют провести сравнение экспериментальных данных с предсказаниями модели геометрического  $S$ -канального приближения [8]. Согласно этой модели дифференциальное сечение определяется

вкладом комплексного полюса  $b_o(s)$ , движущегося в плоскости прицельного параметра. Широкий класс бинарных реакций может быть описан этой моделью при средних и больших переданных импульсах,  $-t > 0,25 \text{ Гэв}/c^2$  с использованием универсального полюса  $b_o(s)$ . Для реакции перезарядки модель предсказывает, что величина  $\sqrt{-t} d\sigma/dt$  должна осциллировать с увеличением  $\sqrt{-t}$  и ограничена сверху величиной

$$\sqrt{-t} d\sigma/dt_{max} \sim e^{-2 \operatorname{Im} b_o(s) \sqrt{-t}} \quad (2)$$

Величина  $2 \operatorname{Im} b_o(s)$  определяется касательной к максимумам сечения, в полулогарифмической шкале (см. рис. 2,а). Найденное по нашим данным значение  $\operatorname{Im} b_o(s)$  при импульсе  $40 \text{ Гэв}/c$  приведено на рис. 2,б вместе с величинами, полученными по данным при меньших энергиях, от 3 до  $18 \text{ Гэв}/c$  [9]. Наша точка располагается на прямой, продолженной из области малых энергий и показывает, что  $\operatorname{Im} b_o(s) \sim \lg s$  вплоть до  $s \approx 100 \text{ Гэв}^2$ .

На основании аналитичности можно найти из этой логарифмической зависимости также и значение  $\operatorname{Re} b_o(s)$ . Оно получено равным  $\approx 5(\text{Гэв}/c)^2$ , что соответствует радиусу области взаимодействия  $\approx 1 \text{ фм}$ .

Мы благодарны дирекции ИФВЭ и ЦЕРН за поддержку совместного эксперимента. Сотрудники ИЭЯФ, Карлсруэ, выражают также благодарность министерству исследований и технологий за финансовую поддержку.

Поступила в редакцию  
26 сентября 1977 г.

## Литература

- [1] W.D.Apel et al. XVII Intern. Conf. on High Energy Physics, 536, Proc., 1-35, London, 1974; Препринт ИФВЭ 74-117, Серпухов, 1974; ЯФ, 25, 362, 1977.
- [2] W.D.Apel et al Phys. Lett., 57B, 398, 1975.
- [3] Yu. B. Bushnin et al. Nucl. Instr. Meth., 120, 391, 1974; Препринт ИФВЭ 74-21, Серпухов, 1974.
- [4] E.Bertolucci et al. Nucl. Instr. Meth., 69, 21, 1969; F.Sergiampietri. Use of Cerenkov Light in Liquid Hydrogen Targets. 1973 Int. Conf. on Instrumentation for High Energy Physics, Frascati.
- [5] W.D.Apel et al. Phys. Lett., 56B, 190, 1975; ЯФ, 22, 1031, 1975.
- [6] В.Н.Болотов и др. ЯФ, 18, 1046; 1973; Nucl. Phys., 37B, 365, 1974

- [7] A.V.Barnes et al. Phys. Rev. Lett., 37, 76, 1976.
  - [8] B.Schrempp, F.Schrempp. Nucl. Phys., B54, 525, 1973; B60, 110, 1973; CERN preprints TH 2258, 1976, TH 2319, 1977.
  - [9] A.Stirling et al. Phys. Rev. Lett., 14, 763, 1965; P.Sonderegger et al. Phys. Lett., 20, 75, 1966; G.Giacomelli et al.  $\pi N$ -data compilation CERN-HERA 69-1, 1969.
-